

Mikrodalga ve Hidrotermal Sentez Yöntemleriyle Vanadyumun 5-Aminoizoftalato Ligantıyla Oluşturduğu Bileşigin Sentezi ve Kısmi Karakterizasyonu

Sabri Çevik ve Muruvvet Düz

Afyon Kocatepe Üniversitesi, Fen Edebiyat Fakültesi, Kimya Bölümü, Afyonkarahisar.
e-posta: scevik@aku.edu.tr

Geliş Tarihi: ; Kabul Tarihi:

Anahtar kelimeler

5-Aminoizoftalik asit; 5-Aminoizoftalato; Vanadium; Mikrodalga sentez yöntemi; Hidrotermal sentez yöntemi.

Özet

Hidrotermal ve mikrodalga sentez yöntemiyle 5-aminoftalik asit (H_2ASP) ile vanadyum bileşikleri etkileştirilerek yeni bir koordinasyon bileşiği sentezlenmiştir. Basit formülü tam olarak belirlenemeyen ve her iki yöntemle hazırlanan bileşigin kısmi karakterizasyonu elementel analiz, IR spektroskopisi, TGA, XRD toz deseni çekimleri ve oda sıcaklığı manyetik duyarlılık ölçümleri yapılarak gerçekleştirilmiştir.

Hydrothermal and Microwave Synthesis and Partial Characterization of Coordination Compound of Vanadium Involving 5-Aminoisophthalato Ligand

Key words

5-Aminoisofthalato; 5-Aminoisophthalic acid; Vanadium; Microwave Synthetic Method; Hydrothermal Synthetic Method.

Abstract

A new coordination compounds of vanadium involving 5-aminoisofthalato (ASP) ligand was prepared with the reaction between vanadium compounds and 5-aminoisophthalic acid (H_2ASP) by using hydrothermal and microwave synthetic methods. The compound with undefined basic formula and prepared with both synthetic methods was compared and partly characterized by using elemental analysis, IR spectroscopy, TGA, XRD powder diffraction and the room temperature magnetic susceptibility measurements.

© Afyon Kocatepe Üniversitesi

1. Giriş

Doğal ve sentetik inorganik zeolitler ile açık çerçeveli metal organik (AÇMO, metal organik framework, MOF) yapılar günümüzün geniş uygulama alanlarına sahip gözenekli işlevsel malzemeleridir. Bunlar endüstride, şekil ve büyülüğüne göre iyonik ayırma işlemlerinde kullanıldığı gibi moleküller ayırcı/elek (molecular sieve) olarak da kullanılmaktadır (Davis and Lobo 1992; McGoff 2008; Cappellazzo *et al.* 1991; Degnan *et al.* 2000; Wilson *et al.* 1982; Cheetham *et al.* 1999; Yan *et al.* 2001; Huang *et al.* 2011).

Metalle organik ligant arasındaki kuvvetli kovalent

bağlara ve bunun sonucunda oluşan sağlam ağ yapılarına sahip olan AÇMO yapıları zeolitler ve organik polimerlerden oldukça farklıdır. AÇMO yapıları katı halde olup düzenli bir kristal yapıya sahiptir. AÇMO yapılarının geometrisi, tercih edilen metal iyon türünün yanında organik ligantların yapısı ile koordinasyon yapma yeteneğine sahip fonksiyonel grupların türlerine ve sayılarına göre farklılık gösterebilir. Bütün bu unsurlar AÇMO yapılarının tasarlanan bağlantıyı oluşturmamasına veya tasarlananlardan çok farklı yapıların oluşmasına izin verebilir (Yaghi and Li 1995; Lee 2008; Meek *et al.* 2011; Yaghi *et al.* 1997; Janiak 2003; James 2003; Robin and Fromm 2006). AÇMO yapılarının sentezinde köprü ligantların seçimi önemlidir ve

ligantın uzunluğu, esnekliği, bağlanma noktaları ve yerlerinin sayısı yapıdaki gözenek büyülüğünü veya tabaklar arasındaki uzaklıği belirler (Janiak 2003). Bir metal aynı ligant ile farklı koordinasyon modlarında etkileşerek, birbirinden çok farklı yapılara sahip kompleks bileşikler oluşturabilir (Li *et al.* 2011).

Koordinasyon polimeri ifadesi ilk olarak 1960 yılında ortaya çıkmış ve 1964'te ise ilk bilimsel çalışmada J.C. Bailar tarafından kullanılmıştır (Kitagawa *et al.* 2004, Fromm *et al.* 2010). Daha sonra koordinasyon polimerleri, AÇMO yapılarını da içine alacak şekilde genişletilmiştir. Bunlar metallerin ligantlara koordine kovalent bağlarla bağlanmasıyla oluşan bir, iki ve üç boyutlu (1D, 2D ve 3D) koordinasyon bileşikleridir (Janiak 2003). Her koordinasyon polimerinin gözenekli olması beklenemez. Seçilen ligantın metal merkezleriyle etkileşiminin nasıl olacağını kontrol etmek bu günü teknik ve yöntemlerle mümkün değildir. Kısacası elimizde organik sentezlerdeki gibi güçlü reaksiyon mekanizmalarını kontrol eden unsurlar bilinmemektedir (Cevik 2001). Ayrıca ürünlerin en azından karakterizasyonu için tek kristal formunda elde edilmesi gerekliliği, bu çalışmalar için sınırlayıcı etkiye sahiptir (Fromm 2010; Lee 2008).

Koordinasyon polimeri ve AÇMO yapılarının tasarımda/sentezinde şu ana unsurlar dikkate alınmalıdır: **(i)** İçerisinde büyük boşluk içeren yapıları sentezlemek neredeyse mümkün değildir. Çünkü doğa vakum oluşturmayı tercih etmez. Diğer bir deyişle gözenekler her zaman bir çeşit konuk veya kalıp molekül(ler) (templates) tarafından işgal edilir. Bu sebeple uçucu veya kolay yer değiştirebilen uygun boyuttaki konuk moleküller senteze kullanılmalıdır. **(ii)** Büyük köprüleyici organik ligantlar, göreceli olarak büyük mikrogözenekli yapıların elde edilmesinde kullanılabilir. Ancak bu tür ligantlar sıklıkla birbirine geçmeye (interpenetration) sebep olabilir. **(iii)** Bir alternatif strateji, içerisinde boşluklar bulunan ağ yapıları teorik olarak tasarlamak ve uygun ligant ile metal kaynaklarını etkileştirmektir (Kitagawa *et al.* 2004; Kitagawa and Kondo 1998; Zhu, *et al.* 2004; Du and Zhao 2004, Holman, *et al.* 2005; Robin and

Fromm, 2006).

Azot ve oksijen verici atomları içeren çok dişli ligantlar, koordinasyon polimerlerinin veya AÇMO yapılarının sentezinde sıklıkla kullanılmıştır ve kullanılmaya da devam edilecektir (Li *et al.* 2006). Karboksilato ligantlarının çok çeşitli koordinasyon modlarında metale bağlanabilmesi ve nötr kararlı koordinasyon bileşikleri oluşturabilmeleri bu tür fonksiyonel grup içeren ligantlara yönelik artırmaktadır. Ayrıca bu durum kendine özgü özelliklere sahip farklı ağ yapılı bileşiklerin çeşitliliği ve sayısının artmasına sebep olabilir. Azot verici fonksiyonel gruptara sahip ligantlarla metal merkezleri arasındaki oluşan yapılar katyonik olacaktır (Rowell and Yaghi 2004; Sun *et al.* 2007). Bu alandaki araştırmacılar, çok geniş bir yelpazede uzun köprü/doğrusal bağlantı/yapısal sertlik özelliklerine sahip ligantlar kullanarak hedefledikleri büyülüklükte mikrogözenek içeren AÇMO yapılar sentezlemeyi başarmışlardır (Kitagawa *et al.* 2004; Wu *et al.* 1998; Cevik 2001; Cevik *et al.* 2007; Murugavel *et al.* 2002; Yaghi *et al.* 2003; Janiak 2003; Feorey *et al.* 2004).

Bu çalışma, vanadyum bileşikleri ile 5-aminoizoftalik asit (H₂ASP) reaksiyonlarından AÇMO yapılı yeni polimerik koordinasyon bileşikleri sentezlemek amacıyla gerçekleştirilmiştir. Bu amaca ulaşmak için hidro/solvotermal ve mikrodalga sentez yöntemleri kullanılmıştır. Üç farklı reaksiyondan, V/O/ASP içeren ve yeni bir koordinasyon polimeri olduğu düşünülen bileşığın sarı-turuncu arası renkli prizmatik kristalleri elde edilmiştir. Bu bileşığın tek kristal yapısı tam olarak aydınlatılamamıştır. Bu sebeple elde edilen yeni bileşik kısmen karakterize edilerek burada sunulmuştur. Karakterizasyonun en önemli ayağı olan kristal yapısı hariç, koordinasyon bileşığının fizikal özelliklerini, oda sıcaklığı manyetik duyarlılık ölçümüleri, infrared spektroskopisi, elementel analiz (CHNS), termogravimetrik analiz (TGA) sonuçları ve X-işinleri kırim deseni kullanılarak kısmi karakterizasyon yapılmıştır.

2. Materyal ve Method

Bu çalışmada kullanılan bütün kimyasallar, herhangi bir saflaştırma yapılmadan, ticari kuruluşlardan (Alfa Aesar, Aldrich, Sigma, Fluka) satın alındığı gibi kullanılmıştır. Hidrotermal reaksiyonlar Parr marka asit sindirme kaplarında ve mikrodalga reaksiyonlar özel tasarım teflon kaplarda gerçekleştirilmiştir. Mikrodalga fırın olarak Arçelik marka MD 595 model ev tipi mikrodalga fırın kullanılmıştır.

Her iki sentez yöntemiyle elde edilen ürünler elementel analiz, IR spektroskopisi, TGA ve oda sıcaklığı manyetik duyarlılık ölçümü yapılarak karşılaştırılmıştır. FTIR spektrumu (KBr Palet 4000-400 cm⁻¹) Perkin Elmer BX-II FTIR spektrometre cihazında alınmıştır. Manyetik duyarlılık ölçümü Sherwood Magway marka MSB MK1 model manyetik duyarlılık cihazında gerçekleştirilmiştir. Elementel analiz (CHNS) için Elementar marka Vario III EL model ve termogravimetrik analiz için Shimadzu marka DTG 60 model cihazlar kullanılmıştır. XRD toz kırınım deseni Bruker marka D8 Advance model cihazında çekilmiştir.

2.1. Sentez

2.1.1. Hidrotermal sentez yöntemi

Metot 1: Sırasıyla NaVO₃ (1 mmol), 5-Aminoizoftalik asit (H₂ASP) (1 mmol) ve 5 ml su karışımı 23 ml'lik teflon reaksiyon kabına konuldu ve cam bagetle karıştırıldıktan sonra kapağı kapatıldı. Daha sonra bu teflon kap Parr marka paslanmaz çelikten üretilmiş basınçla dayanıklı asit sindirme kabı içeresine yerleştirildi. 180°C deki Nüve marka FN 300 model programlı etüvde 48 saat süreyle reaksiyonun gerçekleşmesi beklenmedi. Bu süre sonunda reaksiyon kabı etüvden çıkarıldı, yaklaşık 4 saat süreyle kendiliğinden oda sıcaklığına kadar soğuması için bekletildi. Reaksiyondan, sarı-turuncu arası renkli prizmatik kristaller ile yeşil toz ve çok az miktarda açık kahve renkli süzüntü elde edildi. Süzüntü, deney tüpüne koyulup, ağızı parafinle kapatılmış ve uygun aralıklarla 10 iğne deliği açılarak beklemeye bırakılmış olmasına rağmen süzüntüden kristal elde edilememiştir. Safsızlık olarak bulunan yeşil toz yıkama ile uzaklaştırılmışından, kristaller (105 mg) yeşil toz karışımı içersinden mikroskop altında seçilerek ayrılmıştır.

Metot 2: Na₄V₂O₇ (0,25 mmol), VCl₃ (0,5 mmol), H₂ASP (1 mmol) ve 5 ml su karışımı 23 ml'lik teflon reaksiyon kabına konuldu ve cam bagetle karıştırıldıktan sonra kapağı kapatıldı. Daha sonra bu teflon kap Parr marka paslanmaz çelikten üretilmiş basınçla dayanıklı asit sindirme kabı içeresine yerleştirildi. 180°C deki Nüve marka FN 300 model programlı etüvde 48 saat süreyle reaksiyonun gerçekleşmesi beklenmedi. Bu süre sonunda reaksiyon kabı etüvden çıkarıldı, yaklaşık 4 saat süreyle kendiliğinden oda sıcaklığına kadar soğuması için bekletildi. Reaksiyondan, sarı-turuncu arası renkli prizmatik kristaller ile yeşil toz ve çok az miktarda açık kahve renkli süzüntü elde edildi. Süzüntü, deney tüpüne koyulup, ağızı parafinle kapatılmış ve uygun aralıklarla 10 iğne deliği açılarak beklemeye bırakılmış olmasına rağmen süzüntüden kristal elde edilememiştir. Safsızlık olarak bulunan yeşil toz yıkama ile uzaklaştırılmışından, kristaller (82 mg) yeşil toz karışımı içersinden mikroskop altında seçilerek ayrılmıştır.

2.1.2. Mikrodalga sentez yöntemi

Sırasıyla NaVO₃ (1 mmol), 5-Aminoizoftalik asit (H₂ASP) (1 mmol) ve 5 ml su karışımını 23 ml'lik teflon reaksiyon kabına konuldu ve cam bagetle karıştırıldıktan sonra kapağı kapatıldı. Daha sonra bu teflon kap yine teflondan üretilmiş basınçla dayanıklı özel tasarım bir başka kap içeresine yerleştirildi. 10 dakika süreyle 720 W gücü ayarlanan Arçelik MD 595 model ev tipi mikrodalga fırında reaksiyonun gerçekleşmesi beklenmedi. Bu süre sonunda reaksiyon kabı etüvden çıkarıldı, yaklaşık 1-1,5 saat süreyle kendiliğinden oda sıcaklığına kadar soğuması için bekletildi. Reaksiyon sonucunda sarı-turuncu arası renkli mikrokristaller ile yeşil toz ve çok az miktarda açık kahve renkli süzüntü elde edildi. Süzüntü, deney tüpüne koyulup, ağızı parafinle kapatılmış ve uygun aralıklarla 10 iğne deliği açılarak beklemeye bırakılmış olmasına rağmen süzüntüden kristal elde edilememiştir. Safsızlık olarak bulunan yeşil toz yıkama ile uzaklaştırılmışından, kristaller (116 mg) yeşil toz karışımı içersinden mikroskop altında seçilerek ayrılmıştır.

3. Bulgular ve Tartışma

Bileşik sarı-turuncu arası renkte prizmatik kristallere sahiptir. Kristaller su, etil alkol, aseton ve asetonitril gibi çözücülerde çözünmemektedir. Sulu metil aminde çözünmekte veya bozunmaktadır.

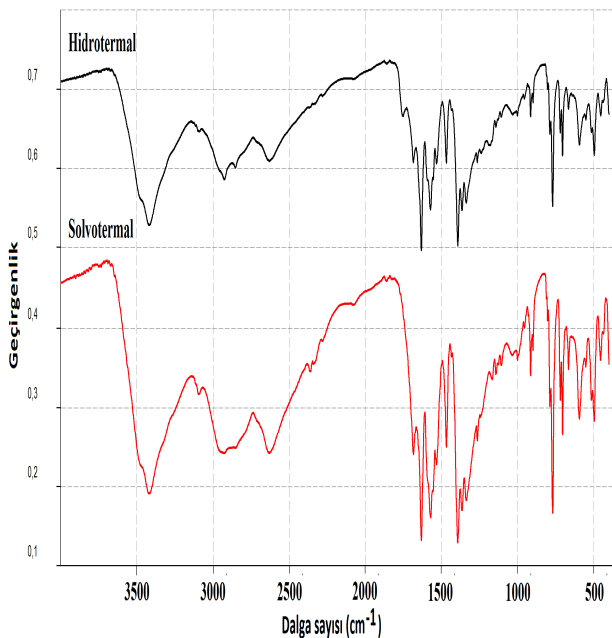
Bileşigin infrared spektrumu (KBr paleti; 4000–400 cm^{-1}) şekil 1'de gösterilmiştir. Ayrıca her iki sentez yöntemiyle elde edilen ürünlerin spektrumları tamamen örtüşmektedir. 3200-3600 arasındaki pikler bileşikte $\nu_a(\text{N}-\text{H})$ ve $\nu_s(\text{O}-\text{H})$ titresimlerine karşılık geldiği düşünülmektedir. Ayrıca bu bölgede yayvan bir pikin olmaması hidrojen bağının olmadığını göstermektedir. Aromatik C-H piki 2945 cm^{-1} de gözlenmiştir. 1500 cm^{-1} ve 1600 cm^{-1} civarındaki piklerin benzen halkasından kaynaklandığı düşünülmektedir (Erdik 1993).

Karbonilin, koordine olmuş karboksil grubunun asimetrik gerilme $\nu_a(\text{COO})$ ve simetrik gerilme $\nu_s(\text{COO})$ titresimleri sırasıyla 1681, 1570 ve 1397 cm^{-1} olduğu düşünülmektedir (Nakamoto, 1986; Sgarabotto, et al. 1999; Costa, et al. 2004; Tarushi, et al. 2007). 950–1000 cm^{-1} aralığı V=O gerilme piklerinin gözlendiği aralıktır, ancak bu bölgede güçlü bir pik olmadığından bileşigin V=O bağı içermediği söylenebilir (Nakamoto, 1989).

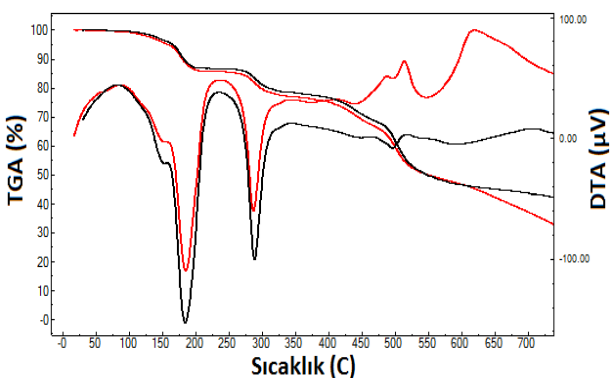
Karboksilat grubunun asimetrik ve simetrik gerilme piklerinin dalga sayıları farkı $\Delta = \nu_a(\text{COO}) - \nu_s(\text{COO})$, karboksilato ligantının koordinasyon modunu tanımlamak için kullanılabilmektedir. Δ değeri 173 cm^{-1} olduğundan, ASP ligantının bir köprü ligantı olduğu ve bu durumu karboksilat grupları üzerinden gerçekleştirdiği ifade edilebilir. Ayrıca bileşigimizde karboksilat gruplarının metale tek dişli olarak bağlılığı da söylenebilir (Sgarabotto, et al. 1999; Zhang et al. 2007).

Termogravimetrik analiz 20-750 °C sıcaklık dakikada 20 °C arttırılarak azot gazı atmosferinde gerçekleştirılmıştır. TGA ve DTA eğrileri şekil 2'de gösterilmiştir. 120-195 °C arasında gözlenen % 14'lük kütte kaybı, yaklaşık olarak altı adet su moleküline karşılık geldiği düşünülmektedir. Bu kütte kaybı sadece akua ligantlarından ileri gelmeyebilir. Yapıda O ve OH grupları varsa bunlar

da suya dönüşerek yapıdan ayrılabilir. ASP ligantınının bozunma sıcaklığı 303 °C 'dir (Yan et al. 2010). Bu nedenle 270 °C de başlayan ve 315 °C'de biten %8'lik kütte kaybıyla, ASP ligantındaki amin grubunun NO_x veya NH₃ olarak uzaklaşabileceğini düşündürmektedir. 400-550 °C %34'lük kütte kaybının, bileşikte geriye kalan organik kısmın karbondioksit ve su buharı olarak parçalanması olarak düşünülebilir. 20-220, 20-320 ve 20-550 °C aralıklarında azot gazı atmosferinde termogravimetrik analizler gerçekleştirilmiş ve analizler sonucunda kalan maddelerin infrarad spektrumları alınarak organik kısmın kalıp kalmadığı tespit edilmiştir. Yukarıdaki yorumlar, infrared spektrumu sonuçları ışığında yapılmıştır. Son kalan kısım ise yapısı ve formülü bilinmeyen bir vanadyum okside ait olduğu düşünülmektedir.



Şekil 1. Hidrotermal ve mikrodalga sentez yöntemleriyle sentezlenen bileşigin FTIR spektrumları.



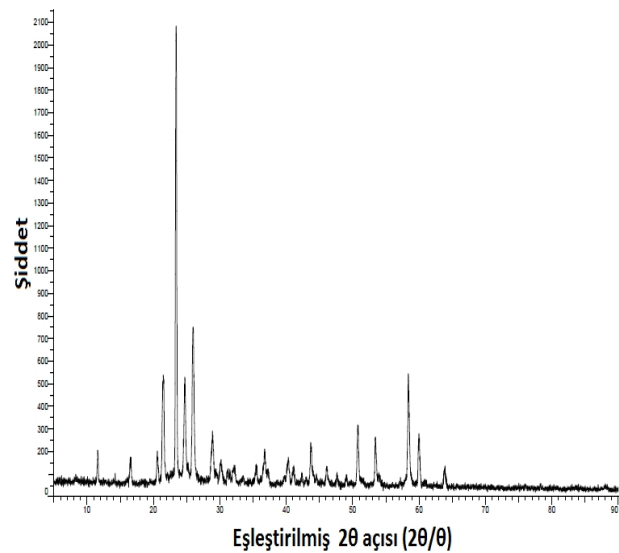
Şekil 2. Hidrotermal ve mikrodalga sentez yöntemleriyle

sentezlenen bileşigin TGA ve DTA eğrileri (Siyah: Hidrotermal; Kırmızı: Mikrodalga).

Her iki sentez yoluyla hazırlanan ürünlerin elementel analiz (CHNS) sonuçlarında karbon ve azot değerleri birbirine çok yakındır. Ayrıca bu ürünlerdeki C/N mol oranları 7,95-8,05 olduğundan ASP'deki mol oranına yakın değerlerden dolayı koordinasyon bileşiginin ASP ligantı içerdığı söylenebilir.

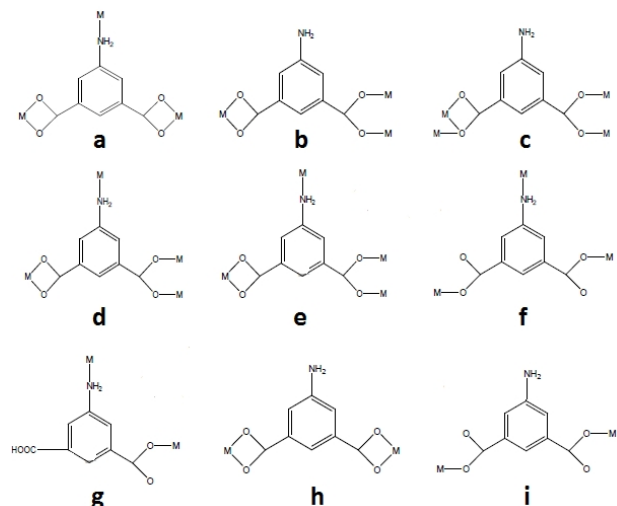
Renginden dolayı paramanyetik olması beklenmeyen bileşigin oda sıcaklığında manyetik duyarlılığı ölçülmüştür ve bileşigin diyamanyetik bir bileşik olduğu tespit edilmiştir. Buna göre bileşikteki vanadyum +5 yükseltgenme basamağındadır. Bileşigin infrared spektrumu, elementel analiz, manyetik duyarlılık ölçümü ve TGA sonuçlarından, yük denkliğini sağlayacak hidrojenler hariç $V_2O_6(C_6H_3(COO)_2NH_2)_3$ veya kısaca $V_2O_6(ASP)_3$ gibi formüle sahip olduğu söylenebilir. Öztle, vanadyumlara bağlı ASP ligantının dışında kalan oksijenlerin okso, hidrokso ve/veya akua ligantınınları mı olduğu kristallografik olarak tespit edilememiştir. Ayrıca basit formülün yük denkliği sağlandıktan sonra $C_{24}H_{17}N_2O_{18}V_2$ şeklinde olacağı tahmin edilmektedir. Hidrotermal sentez yöntemleriyle hazırlanan ürünlerin XRD toz kırınım deseni şekil 3'te gösterilmiştir.

Bu çalışmanın tasarımının (sentez öncesinde metalin ligantına bağlanma olasılıklarına örnekler) bir kısmı şema 1'de özetlenmiştir. Şema 1, dokuz olası metal-ligantının etkileşimiğini göstermektedir. Bunlardan farklı etkileşimler de vardır. Ayrıca bu



Şekil 3. Bileşigin XRD toz kırınım deseni

etkileşimlerden ikisi veya daha fazlası aynı bileşikte gözlemlenebilir. Ek olarak bağlanma moduna etki eden unsurlar, vanadyumun yükseltgenme basamağı ve koordinasyon geometrileridir (tetrahedral, kare düzlem veya oktaedral, vb). Bütün bu unsurlar, koordinasyon polimerlerinin tasarım ve yapılarının tahminini zorlaştırmaktadır.



Şema 1. Vanadyum ile ASP ligantının oluşturabileceği koordinasyon geometrilerinden bazıları.

Infrared spektrumu sonuçlarından, bileşikte f ve/veya i'de gösterilen bağlanma modları bulunabilir. Ayrıca bileşigin bir koordinasyon polimeri olduğu da söylenebilir, ancak bileşigin yapısının gözenekli olup olmadığını ve 1D, 2D veya 3D olduğunu öngörememiz mümkün değildir. Öztle, ASP ligantının metale bağlanma modlarıyla vanadyumun koordinasyon geometrisindeki

çeşitliliğin çok olması, çalışmanın tasarım kısmını zorlaştırırken, yeni ve farklı geometrik yapıların oluşma olasılığını arttırr.

4. Sonuç ve Öneriler

Yeni inorganik-organik koordinasyon bileşikleri elde etmek amacıyla, azot ve oksijen verici atomlara sahip ASP ligantının vanadyum bileşikleriyle hidro/solvothermal ve mikrodalga sentez yöntemleri kullanılarak etkileştirilmiştir. Her iki yöntemle elde edilen bileşliğin aynı bileşik olduğu tespit edilmiştir. Ayrıca bu bileşik, ASP ligantını içeren ilk vanadyum koordinasyon bileşigidir. İlaveten bu bileşik mikrodalga sentez yöntemi kullanılarak sentezlenen vanadyum içeren koordinasyon bileşiklerinin üçüncüsüdür.

Özel tasarım mikrodalga reaksiyon kaplarının pahali olması, oluşan yüksek basınçtan dolayı çözücü kaybının olabilmesi ve kabın parçalanma olasılığının yüksek olması nedeniyle mikrodalga sentez yönteminin yoğun bir şekilde kullanılmasını engellemiştir. Buna rağmen mikrodalga sentez yönteminin üstünlükleri ve dezavantajları dikkate alınarak, başarılı reaksiyon setleri için hidro/solvothermal sentez tekniğinin yanı sıra mikrodalga sentez yönteminin de kullanılması gereği sonucuna varılmıştır.

Mikrodalga sentez yönteminin ligantları bozunmaya uğratabilecek çok yüksek bir enerji sağlamamasından dolayı, hidro/solvothermal sentez yöntemlerine üstünlük sağlayabileceği bu çalışmada gösterilmiştir. Son olarak, moleküller veya polimerik yeni koordinasyon bileşiklerinin tasarım ve sentezinde mikrodalga sentez yöntemi kullanılabilir.

Teşekkür

Bu çalışma Afyon Kocatepe Üniversitesi Bilimsel Araştırma Projeleri kapsamında yürütülen 09.FENED.03 numaralı projeye gerçekleştirilmiştir.

Kaynaklar

- Cappellazzo, O., Cao, G., Messina, G. and Morbidelli, M., 1991., Kinetics of shape-selective xylene isomerization over a ZSM-5 catalyst. *Industrial & Engineering Chemistry Research*, **30**, 2280-2284.
- Costa, B.S., Wagner, C.C. and Baran, E.J., 2004. Vibration spectra and electrochemical behavior of bispicolinate copper(II). *The Journal of the Argentine Chemical Society*, **92**, 109-117.
- Degnan, T.F., Chitnis, G.K. and Schipper, P.H., 2000. History of ZSM-5 fluid catalytic cracking additive development at Mobil. *Microporous and Mesoporous Material*, **245**, 6-35.
- Davis, M.E. and Lobo, R.F., 1992. Zeolite and molecular sieve synthesis. *Chemistry of Materials*, **4**, 756-768.
- Du, M. and Zhao, X.J., 2004. $\{[Cu(bipy)_2\cdot 5(H_2O)](ClO_4)_2\}\cdot (CH_3OH)_{1.5}$ (bipy = 4,4'-Bipyridine): organic template effect in formation of a novel bilayer coordination polymer with large chiral channels. *Inorganic Chemistry Communications*, **7**, 1056-1061.
- Erdik, E., 1993. Organik Kimyada Spektroskopik Yöntemler. Gazi Büro Kitabevi, Ankara.
- Feorey, G., Serre, C. and Draznieks, M., 2004. A Hybrid solid with giant pores prepared by a combination of targeted chemistry, simulation, and powder diffraction. *Angewandte Chemie International Edition*, **43** 6296-6301.
- Fromm, K.M., Sague, L.J. and Mirolo, L., 2010. Coordination polymer networks: an alternative to classical polymers? *Macromolecular Symposia*, **291–292**, 75–83.
- Holman, K.T., Hammud, H.H., Isber, S. and Tabbal, M., 2005. One-dimensional coordination polymer $[Co(H_2O)_4(pyz)](NO_3)_2 \cdot 2H_2O$ (pyz = pyrazine) with intra- and inter-chain H-bonds: structure, electronic spectral studies and magnetic properties. *Polyhedron*, **24**, 221-225.
- Huang, J., Fu, X., Wang, G. and Miao, O. 2011. Novel organic polymer-inorganic hybrid material zinc poly(styrene-phenylvinylphosphonate)-phosphate prepared with a simple method. *Journey of Solid State Chemistry*, **184**, 2605–2609.
- Janiak, C. 2003., Engineering coordination polymers towards applications. *Juornal of The Chemical Society-Dalton Transactions*, 2781-2804.
- James, S.L., 2003. Metal-organic frameworks. *Chemical Society Review*, **32**, 276-288. Kitagawa, S., Kitaura, R. and Noro, S., 2004. Functional porous coordination polymers. *Angewandte Chemie-International Edition*, **43**, 2334-2375.
- Kitagawa, S. and Kondo, M., 1998. Functional micropore chemistry of crystalline metal complex-assembled compounds. *Bulletin of the Chemical Society of Japan*, **71** 1739–1753.
- Lee L., 2008. Design of porous solids from 2-D and 3-D coordination frameworks utilizing imidazolylbenzoic acids and esters. MSc Thesis, Department of Chemistry & Biochemistry, Worcester Polytechnic Institute, Worcester, USA.
- Li, C., Peng, Y., Wang, S., Zhang, X., Li, L., Dou, J. and Li, D. 2011. pH and metal-dependent structural diversity from mononuclear to two-dimensional polymers based on a

- flexible tricarboxylate ligand. *Journal of Solid State Chemistry*, **184**, 1581–1590.
- Li, X.J., Cao, R., Gua Z., Wang, Y.Q. and Zhu, X. 2006. In situ synthesis of a three-dimensional supramolecular architecture from modified flexible ligand. *Journal of Molecular Structure*, **798**, 64–68.
- Murugavel, R., Krishnamurthy, D., and Sathyendiran, M., 2002. Anionic metal organic and cationic organic layer alternation in the coordination polymers $\{[M(BTEC)(OH)_2]_4\} \{C_4H_{12}N_2\}4H_2O$ (M=Co, Ni, and Zn; BTEC=1,2,4,5-benzenetetracarboxylate). *Journal of the Chemical Society*, 34–39.
- Meek, S.T., Greathouse, J.A. and Allendorf, M.D., 2011. Metal-organic frameworks: a rapidly growing class of versatile nanoporous materials. *Advanced Materials*, **23**, 249–267.
- McGoff, M., 2008. Design of Crystalline Splids via Solid-State Reaction. PhD Thesis, The Faculty of Worcester Polytechnic Institute.
- Nakamoto, K., 1986., Infrared and Raman Spectra of Inorganic and Coordination Compounds, Wiley-Interscience Publication, New York.
- Rowell, J.L.C. and Yaghi, O.M., 2004. Metal-organic frameworks: a new class of porous materials. *Microporous and Mesoporous Materials*, **73**, 3–14.
- Robin, Y.A. and Fromm, M.K., 2006. Coordination polymer networks with O- and N-donors: what they are, why and how they are made. *Coordination Chemical Review*, **250**, 2127–2157.
- Sgarabotto, P., Bisceglie, F., Pelosi, G., Abdel, R.L., 1999. Synthesis, X ray crystal structures and characterization of copper (II) -2,2'-bipyridyl derivatives of (4-amino)-hippuric acid and of proline. *Polyhedron*, **18**, 2505-2510.
- Sun, F.X., Zhu, G.S., Fang, Q.R. and Qiu, S.L., 2007. A novel 3D metal-organic framework with the pcu topology constructed from 1,4-diaza-bicyclo[2.2.2]octane-N,N'-dioxide. *Inorganic Chemistry Communications*, **10**, 649–651.
- Tarushi, A., Christofis, P. and Psomas, G., 2007. Synthesis, characterization and interaction with DNA of mononuclear metal complexes with oxolinic acid *Polyhedron*, **26**, 3963-3972.
- Wu, H.P., Janiak, C., Rheinwald, G. and Lang, H., 1999. 5,5'-Dicyano-2,2'-bipyridine silver complexes: Discrete units or co-ordination polymers through a chelating and/or bridging metal-ligand interaction. *Journal of the Chemical Society Dalton Transactions*, 183–190.
- Wilson, S.T., Lok, B.M., Messina, C.A., Cannan, T.R. and Flanigen, E.M., 1982. Aluminophosphate molecular sieves: a new class of microporous crystalline inorganic solids. *Journal of the American Chemical Society*, **104**, 1146-1151.
- Yaghi, O.M. and Li, H. ,1995. Hydrothermal synthesis of a metal-organic framework containing large rectangular channels. *Journal of the American Chemical Society*, **117**, 10401-10402.
- Yaghi, O.M., Davis, C.E. and Li, G.M., 1997. Selective guest binding by tailored channels in a 3-d porous zinc(II)-benzenetricarboxylate network. *Journal of The American Chemical Society*, **119**, 2861-2868.
- Yaghi, O.M., O'Keeffe and Ockwing. M., 2003. Reticular synthesis and the design of new materials. *Nature*, **423**, 705-714.
- Yaghi, O.M., Li, H.L. and Davis, C., 1998. Synthetic strategies, structure patterns, and emerging properties in the chemistry of modular porous solids. *Accounts of Chemical Research*, **31**, 474-484.
- Yan, W., Yu, J., Shi, Z. and Xu, R., 2001. Synthesis and characterization of an open-framework alumino-phosphate. $[AlP_2O_6(OH)_2][H_3O]$ containing propeller-like chiral motifs. *Studies in Surface Science and Catalysis*, **135**, 245-249.
- Yan, Z.W., Li, F., Zeng, H.F., Luo S.J. and Li, T.H., 2010. A new coordination mode of 5-aminoisophthalate in lead coordination polymers: synthesis, structure, and photoluminescence properties. *Journal of the Iranian Chemical Society*, **7**, 978-985.
- Zhang, K., Qiao, N., Gao, H., Zhou, F. and Zhang, M. 2007. Self assembly of two novel three-dimensional supramolecular networks with blue photoluminescence. *Polyhedron*, **26**, 2461–2469.
- Zhu, H., Huang, C., Huang, W. and Gou, S., 2004. A novel coordination polymer constructed from 1D neutral chains via inter-chain π - π stacking and hydrogen bonding. *Inorganic Chemistry Communications*, **7**, 1095-1101.